

## طيف طاقة حاملة الشحنة في الجمل العديدة الطبقات في حقل الكمون الذاتي

الدكتور محمد فايد

الدكتور مفيد عباس

(قبل للنشر في 1996/1/28)

### □ الملخص

دراسة نظرية لظاهرة التأثير الذاتي لحاملة الشحنة في أوساط الجمل الامتحانسة والحصول على عبارة كمون الطاقة الذاتي لحاملة الشحنة في طبقة وسطى من جملة مؤلفة من ثلاثة طبقات. مقارنة النتائج الحسابية الموافقة للصيغ الدقيقة مع النتائج التقريرية الموافقة للصيغ التحليلية ووضع معايير صحة العلاقات التحليلية. الحصول على طيف طاقة الإلكترون بطرق حسابية وتحليلية مع حساب طاقة كمون التأثير الذاتي.

\* مدرس في قسم الفيزياء - كلية العلوم - جامعة تشرين - اللاذقية - سورية.

\*\* أستاذ مساعد في قسم الفيزياء - كلية العلوم - جامعة تشرين - اللاذقية - سورية.

## Energy Spectrum of Charge Carrier in the Multilayer System in Self-potential Field

Dr. Mohammad FAHOUD\*

Dr. Moufid ABBAS\*\*

(Accepted 28/1/1996)

### □ ABSTRACT □

*The manifestation of the self-action potential in spatially heterogeneous structure is theoretically investigated, the paper also studies the expressions for the self-action potential energy of a test charge placed in the central layer of the triadic-structure. The numerical results which correspond to the exact formulae are compared with the approximate ones which correspond to the analytical expressions, for the criteria of validity are deduced from this comparison. The electron energy spectra are obtained from both, numerical and analytical calculations according to the self-action potential energy. The applicability range of analytical results is established.*

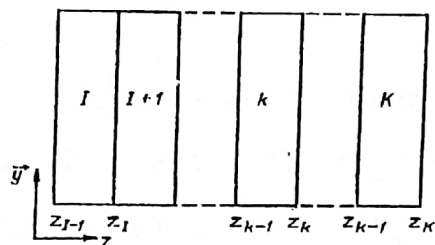
---

\* Lecturer at Physics Department, Faculty of Science, Tishreen University, Lattakia, Syria.

\*\* Associate Professor at Physics Department, Faculty of Science, Tishreen University, Lattakia, Syria.

### مقدمة:

لشرح ظاهرة النقل، امتصاص الضوء، توضع حاملة الشحنة الكهربائية... الخ في جملة مؤلفة من التحام  $k$  طبقة رقيقة لمواد مختلفة (عزلة - نصف عازلة - معدن - ...) لابد من إيجاد كمون التأثير الذاتي لحاملة الشحنة الموجودة في الطبقة  $n$  ( $1 < n < k$ ) الشكل (1). تؤدي هذه الشحنة إلى استقطاب الوسط وبالتالي ينتج حقل يسمى بحقل الاستقطاب يؤثر هذا الحقل على الشحنة نفسها.



الشكل (1)

تسمى طاقة التأثير المتبادل بين حاملة الشحنة والاستقطاب الإلكتروني للوسط من قبل هذه الشحنة بالطاقة الكمونية الذاتية وقد تم في الأعمال [1-8] حساب كمون التأثير الذاتي لحاملة الشحنة الكهربائية في جملة مؤلفة من التحام  $k$  طبقة وحيث أن حاملة الشحنة موجودة في الطبقة  $n$ . بيّنت هذه الدراسة أن عبارة كمون التأثير لحاملة الشحنة تتعلق ببارامترات الطبقات (سماكة - بارامتر اللاتاحي - العازلية الكهربائية - الكثافة الفعالة) وإن هذا الكمون يؤثر على طيف الطاقة الكوانية لحاملة الشحنة.

يعطى كمون التأثير الذاتي لحاملة الشحنة [8] بالعلاقة التالية:

$$V_n(\vec{\eta}, Z) = \int_{Z_{n-1}}^Z dZ' G'_{nn}(Z, Z') \epsilon_0^{-1} \rho_n(\vec{\eta}, Z') \quad (1)$$

حيث أن:

$$G'_{nn}(Z, Z') = G_{nn}(Z, Z') - (2\eta\epsilon_n)^{-1} \exp\left\{-\sqrt{\epsilon_n}\eta/Z - Z'/\right\} \quad (2)$$

$G_{nn}(Z, Z')$  :تابع غرين ويعطى بالعلاقة التالية:

$$G_m(Z, Z') = \frac{1}{2\eta\varepsilon_n} \left\{ e^{-\sqrt{\varepsilon_n}\eta/Z, Z'} + \frac{1}{sh\zeta_n} \left[ \left[ e^{-\zeta_n} + \frac{\eta\varepsilon_n}{sh\zeta_n} (2D_{n,n-1}ch\zeta_n - D_m - D_{n-1,n-1}) \right. \right. \right. \right. \\ \times ch\sqrt{\varepsilon_n}[\eta(Z, Z')] + \left[ \frac{\eta\varepsilon_n}{sh\zeta_n} (D_{n,n} + D_{n-1,n-1}ch\zeta_n - 2D_{n,n-1}) - 1 \right] \\ \times ch[\sqrt{\varepsilon_n}\eta(Z + Z' - Z_n - Z_{n-1})] + \eta\varepsilon_n(D_m - D_{n-1,n-1}) \\ \times sh[\sqrt{\varepsilon_n}\zeta_n\eta(Z + Z' - Z_n - Z_{n-1})] \right\} \quad (3)$$

$$D_{nk} = \varepsilon_0 \frac{\partial V(\vec{\eta}, Z_n)}{\partial \sigma_k(\vec{\eta})}$$

وأن:  $\{2\eta\varepsilon_n\}^{-1} \exp\{-\sqrt{\varepsilon_n}\eta/Z - Z'\}$  كمون كولون.

وتعطى كثافة الشحنة بالشكل التالي:

$$\rho_n(\vec{\eta}, Z') = (2\pi)^{-2} e\delta(Z - Z')e^{-i\vec{\eta}\vec{y}} \delta_{nk} \quad (4)$$

بتعويض (3) و (4) في (1) نحصل على كمون الاستقطاب بالشكل التالي:

$$V'_n(\vec{y}, \vec{y}', Z, Z') = (2\pi)^{-2} \varepsilon_0^{-1} e \int d^2\eta e^{i\vec{\eta}(\vec{y}-\vec{y}')} G'_{n,n}(Z, Z') \quad (5)$$

وبحسب العلاقة التي تعطي الطاقة الكامنة الكهربائية نكتب:

$$U_k = \frac{1}{2} \int_{Z_{n-1}}^{Z_n} V'(\vec{r}) \rho_n(\vec{k}) dZ d^2y \quad (6)$$

يبعد الثابت  $\frac{1}{2}$  التأثير الثاني المتبادل بين الشحنتين، وبما أن الشحنة نقطية فكثافتها تعطى بالعلاقة التالية:

$$\rho_k(\vec{r}) = e\delta(Z - Z')\delta(\vec{y} - \vec{y}') \quad (7)$$

بالنتيجة نحصل على عباره الطاقة الكامنة الذاتية وفق التالي:

$$U_{SA}(Z_e) = (4\pi\varepsilon_0)^{-1} e^2 \int d^2\eta G'_m(Z, Z') \quad (8)$$

تعتبر هذه الدراسة عامة للحصول على طاقة التأثير الذاتي لحامله الشحنة في الطبقة  $n$  من جملة مؤلفة من  $k$  طبقة. وللوضيح هذه الدراسة نأخذ للسهولة والتوضيح مثلاً على ذلك جملة مؤلفة من التحام ثلث طبقات لا متاحية.

استنتاج عباره الكمون الذاتي في جملة مؤلفة من ثلث طبقات لا متاحية:

لتكن لدينا جملة مؤلفة من التحام ثلث طبقات لا متاحية، الطبقة الوسطى سماكتها  $L$  معينة في المجال  $-L/2 \leq Z \leq L/2$  - والطبقتين المجاورتين معينتين بـ  $Z < -L/2$  و  $Z > L/2$ .

ونعتبر المحور Z معادم لمستوي التحام الطبقات لذلك نقرن قيم البارامترات الماخوذة بإتجاه المحور Z بإشارة التوازي "://" وذلك التي تستخدم في المستوي xy بإشارة التعامد "L". وبالتالي يمكننا أن نعبر عن العازلية الكهربائية للطبقات بالشكل التالي:

$$\text{رقم الطبقة } K = 1, 2, 3 \quad \varepsilon_k^{xx} = \varepsilon_k^{yy} = \varepsilon_k^{\perp}; \varepsilon_k^{zz} = \varepsilon_k''$$

يمكن الحصول على عبارة الكمون  $(r) V_k$  لشحنة نقطية  $(r) \rho_k$  الموجودة في الطبقة K من حل جملة معادلات ماكسويل التالية:

$$(9) \quad \operatorname{div}(\varepsilon_k \operatorname{grad} V_k(r)) = \varepsilon_0^{-1} \rho_k(r)$$

وقد تم حل هذه المسألة [7] من أجل منابع الحقل الممكنة (الشحنات الحجمية - السطحية - اهتزاز شبكة مستقطبة). ويأخذ الحل - في الحالة التي نعتبر فيها الشحنة نقطية موجودة في الطبقة k=2 وحيث  $\delta_{2k}(\tilde{r}, \tilde{r}_e) = -e\delta(\tilde{r} - \tilde{r}_e)$  والشروط الدوبلية، استمرارية الكمون والمركبة العمودية لحقل الإزاحة الكهربائية عند الحدود الفاصلة في الحالة الخاصة التالية - الشكل التالي:

$$(10) \quad V(\tilde{r}, \tilde{r}_e) = \int \frac{d^2 \eta}{(2\pi)^2} e^{i\tilde{\eta}\tilde{r}} V(\tilde{\eta}, Z, Z_e)$$

وحيث أن:

$$(11) \quad V(\eta, Z, Z_e) = \frac{e}{2\varepsilon_0 \bar{\varepsilon}_2 \eta} \left\{ e^{-\varepsilon_2 \eta / z - z_e} + 2 \left[ e^{-2\zeta_2} - \delta_1 \delta_3 \right]^{-1} \times \left[ \delta_1 \delta_3 ch \in_2 \eta(Z - Z_e) + e^{\zeta_2} (f_1 ch \in_2 \eta(Z + Z_e) + f_2 ch \in_2 \eta(Z + Z_2)) \right] \right\}$$

$$(12a) \quad \delta_1 = \frac{\bar{\varepsilon}_2 - \bar{\varepsilon}_j}{\bar{\varepsilon}_2 + \bar{\varepsilon}_j}; j = 1, 3 \in_k = \left( \frac{\varepsilon_k^{\perp}}{\varepsilon_k''} \right)^{\frac{1}{2}}, \bar{\varepsilon}_k = \left( \varepsilon_k^{\perp} \varepsilon_k'' \right)^{\frac{1}{2}}$$

$$(12b) \quad \zeta_k = \in_k \eta \ell_2, f_1 = \frac{\bar{\varepsilon}_2^2 - \bar{\varepsilon}_1 \bar{\varepsilon}_3}{(\bar{\varepsilon}_2 + \bar{\varepsilon}_3)(\bar{\varepsilon}_1 + \bar{\varepsilon}_3)}, f_2 = \frac{(\bar{\varepsilon}_1 - \bar{\varepsilon}_2) \bar{\varepsilon}_2}{(\bar{\varepsilon}_2 + \bar{\varepsilon}_3)(\bar{\varepsilon}_1 + \bar{\varepsilon}_3)}$$

ويعبر الكمون التالي:

$$(13) \quad V_e(\tilde{r}, \tilde{r}_e) = \frac{e}{\varepsilon_0 \bar{\varepsilon}_2} \int \frac{d^2 \eta}{(2\pi)^2} e^{i\tilde{\eta}\tilde{r}} e^{-\varepsilon_2 \eta |Z - Z_e|}$$

عن التأثير المباشر للشحنة الإلكترونية، كما أن الكمون التالي:

$$(14) \quad V_p(\tilde{r}, \tilde{r}_e) = V(\tilde{r}, \tilde{r}_e) - V_e(\tilde{r}, \tilde{r}_e)$$

يعبر عن الاستقطاب الإلكتروني، ويعطي كمون الطاقة الذاتي للشحنة الإلكترونية مع طاقة الاستقطاب الإلكتروني لهذه الشحنة بالعلاقة المعروفة التالية:

$$(15) \quad U_{SA}(Z_e) = \frac{1}{2} \int V_p(\tilde{r}, \tilde{r}_e) \rho_2(\tilde{r}, \tilde{r}) d_r^3$$

يبعد المضروب  $\frac{1}{2}$  التأثير المتبادل بين الشحنتين، بالأخذ بعين الاعتبار أن الشحنة نقطية

وباستخدام العلاقات (10) و (13) والتعريف (14) نحصل على العلاقة التالية:

$$U_{SA}(Z) = U_{SA}^0 + U_{SA}^{(ev)}(Z) + U_{SA}^{(odd)}(Z) \quad (16)$$

حيث أن:

$$U_{SA}^0 = \frac{e^2}{4\pi\epsilon_0\bar{\epsilon}_2} \int_0^\infty d\eta \frac{\delta_1\delta_3 + e^{\zeta_2} f_1}{e^{2\zeta_2} - \delta_1\delta_3} \quad (17a)$$

لا يتعلق هذا الحد  $Z$  ويعبر عن القسم الزوجي والفردي في عبارة كمون الطاقة

السابقة بالعلاقاتين التاليتين على الترتيب:

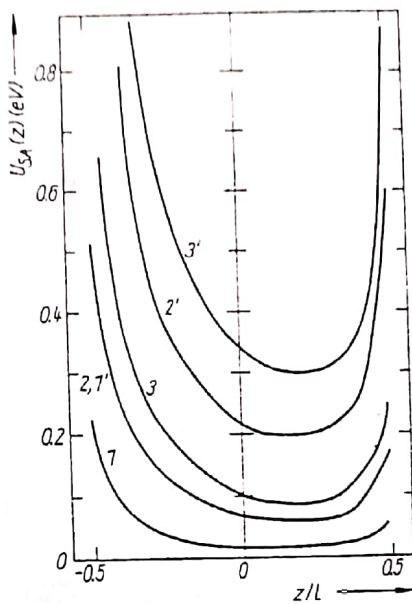
$$U^{(ev)}(Z) = \frac{e^2 f_1}{2\pi\epsilon_0\bar{\epsilon}_2} \int_0^\infty d\eta \frac{e^{\zeta_2} \sinh(\epsilon_2 \eta Z)}{e^{2\zeta_2} - \delta_1\delta_3} \quad (17b)$$

$$U^{(odd)}(Z) = \frac{e^2 f_2}{2\pi\epsilon_0\bar{\epsilon}_2} \int_0^\infty d\eta \frac{e^{\zeta_2} \sinh(\epsilon_2 \eta Z) \cosh(\epsilon_2 \eta Z)}{e^{2\zeta_2} - \delta_1\delta_3} \quad (17c)$$

ينتتج من العلاقاتين (17b) و (17c) في المجالين  $-L/2 \leq Z \leq 0$  و  $0 \leq Z \leq L/2$  فإن كمون الطاقة الذاتي يتاسب طرداً مع  $Z$  وإن قيمة التكامل المعطى بالعلاقة (17c) يكون أكبر بالقيمة المطلقة من قيمة التكامل في (17b) من أجل جميع قيم  $Z$ .

وبالتالي إذا كان  $|f_1| \geq |f_2|$  فإن الدور الأساسي في عبارة كمون الطاقة يحدده (الحد) الفردي ويترافق بشكل مستمر إذا كان  $0 < f_2 < f_1$  أما في الحالة المعاكسة أي إذا كان  $f_2 > 0$  فإنه يتافق بشكل مستمر وفي الحالة التي يكون فيها  $|f_2| > |f_1|$  فإن الدور الأساسي في عبارة كمون الطاقة يحدده الحد الزوجي والحد الفردي يلعب دور في إزاحة النهاية الحديثة  $U_{SA}(Z)$  في مركز الطبقة وذلك نحو اليمين أو نحو اليسار.

ففي الحالة التي يكون فيها  $0 < f_1 < f_2$  فالنهاية صغرى وإزاحتها نحو اليسار إذا كان  $f_2 > 0$  أما إذا كان  $f_2 < 0$  فإن إزاحتها تكون نحو اليمين. أما في الحالة التي يكون فيها  $f_1 > 0 > f_2$  فالنهاية تكون عظمى وإزاحتها تكون نحو اليمين إذا كان  $f_2 < 0$  ونحو اليسار إذا كان  $f_2 > 0$ .

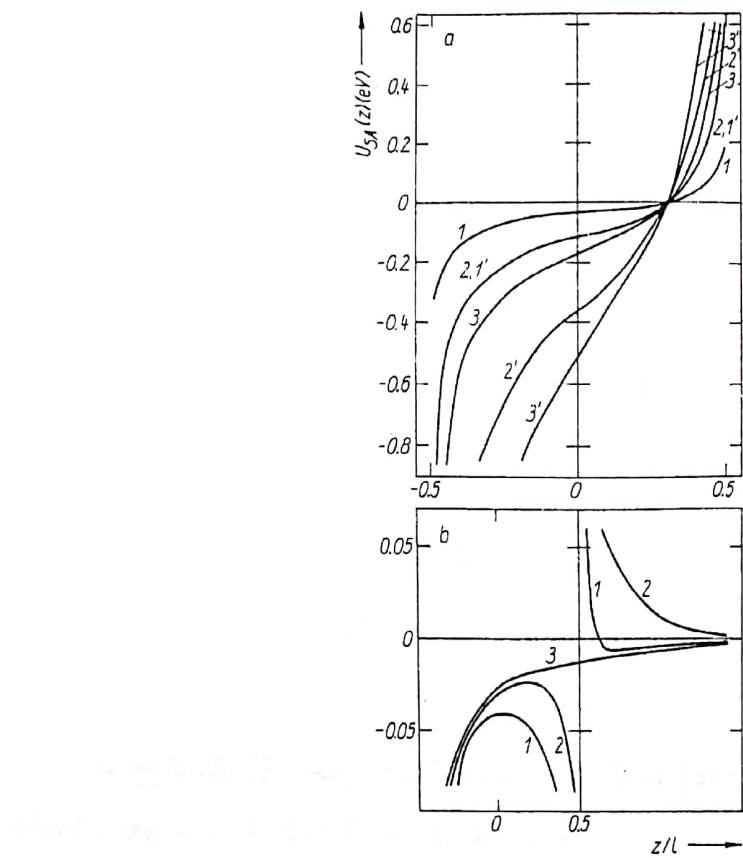


(الشكل (2)

يوضح الشكل (2) بعض الأمثلة المحسوبة بالعلاقات (16) و (17a,b,c) من أجل ثلاثة طبقات (1) خلاء ( $k=1$ ),  $\text{CdTe}$  ( $k=2$ ),  $\text{MgF}_2$  ( $k=3$ ).

والمنحنيات البيانية على الشكل (2) تعبر عن تابع الطاقة الكمونية في الطبقة ومن أجل قيم مختلفة  $L_2=10\text{nm}$  المنحني (1).  $L_2=3\text{nm}$  المنحني (2).  $\text{CdTe}(k=1)$  المنحني (3)  $L_2=2\text{nm}$  المنحني (3')  $\epsilon_1=1, \epsilon_2=7.1, \epsilon_3=5.45$ . فمن أجل هذه القيم فإن قيمة  $f_1=45 > 0$  فالنهاية صغرى كما أن قيمة  $f_2=-31 < 0$  فهذه النهاية تعانى انزياح نحو اليمين، وبين الشكل (2) تأثير انزوتربوية العازلة الكهربائية (اللاتاحي). فالمحننات '1,2,3' تافق المعطيات نفسها للمنحنيات 1,2,3 مع الفارق الوحيد للبارامتر  $\epsilon_2=0.3$  لأجل المحننات الأخيرة  $\epsilon_2=1$  في الأولى.

تبين هذه المحننات جميعها أن  $U_{SA}(Z)$  تابع مضطرب بالنسبة للمتحول  $Z$ .  
هذا وتعتبر الجملة المؤلفة من التحام طبقة معدن مع طبقة عازل وطبقة نصف ناقل أكثر أهمية كما يتبيّن في الشكل (3a,b).



الشكل (3)

الشكل (3a) الطاقة الكمونية الذاتية لحملة الشحنة في طبقة CdTe المتوضعة على طبقة معدنية ولقيم مختلفة للبارامترات  $L_2 - L_2 = \epsilon_2 = 1$  فمن أجل (1) يوافق  $L_2 = 10\text{nm}$  ومن أجل  $\epsilon_2 = 0.3$  : المنحنى (1') يوافق  $L_2 = 10\text{nm}$  والمنحنى (2') يوافق  $L_2 = 3\text{nm}$  والمنحنى (3') يوافق  $L_2 = 2\text{nm}$  أما الشكل (3b) فيعبر عن الطاقة الكمونية الذاتية لحملة الشحنة في جملة (MDS) ومن أجل قيم مختلفة لـ  $\delta_3$  المنحنى (1) يوافق  $\delta_3 = -0.9$  والمنحنى (2) يوافق  $\delta_3 = -0.6$  والمنحنى (3) يوافق  $\delta_3 = 0$ .

وينتج في هذه الحالة المعادلات (17a,b,c) بتعويض  $\epsilon_1 \rightarrow \infty$  في المجال  $-L_2/2 \leq Z \leq L_2/2$  - العلاقات التالية:

$$U_{SA}^0 = \frac{-e^2}{4\pi\epsilon_0\bar{\epsilon}_2} \int_0^\infty d\eta \left( \delta_3 + \frac{\bar{\epsilon}_3 e^{\zeta_2}}{\bar{\epsilon}_2 + \bar{\epsilon}_3} \right) \frac{1}{e^{2\zeta_2} + \delta_3} \quad (18a)$$

$$U_{SA}^{(ev)}(Z) = -\frac{e^2}{4\pi\epsilon_0\bar{\epsilon}_2} \frac{\bar{\epsilon}_3}{(\bar{\epsilon}_2 + \bar{\epsilon}_3)} \int_0^\infty d\eta \frac{e^{\zeta_2} \sinh(\epsilon_2 \eta Z)}{e^{2\zeta_2} + \delta_3} \quad (18b)$$

$$U_{SA}^{(odd)}(Z) = \frac{e^2}{4\pi\epsilon_0\bar{\epsilon}_2} \frac{\bar{\epsilon}_3}{(\bar{\epsilon}_2 + \bar{\epsilon}_3)} \int_0^\infty d\eta \frac{e^{\zeta_2} \sinh(\epsilon_2 \eta Z) \cosh(\epsilon_2 \eta Z)}{e^{2\zeta_2} + \delta_3} \quad (18c)$$

تعبر المنحنيات البيانية على الشكل (3b) عن نتائج  $U_{SA}(Z)$  في جملة مؤلفة من ثلاثة طبقات معدن ( $k=1$ )، عازل ( $k=2$ )، نصف ناقل ( $k=3$ ) وذلك من أجل ثلاثة قيم لـ  $\delta_3$  هي

$\delta_3 = -0.9; -0.3; 0$  في المجال  $-L_2/2 \leq Z \leq L_2/2$  حيث يوافق المجال  $Z < L_2/2$  نصف الناقل والمجال  $Z > L_2/2$  طبقة المعدن.

ويمكن إيجاد عبارة  $(Z) U_{SA}$  في طبقة نصف الناقل وذلك من الحل العام لجملة المعادلتين (10)، (11)، [7].

$$U_{SA}(Z) = \frac{e^2}{8\pi\epsilon_0\bar{\epsilon}_2} \int_0^\infty d\eta e^{-2\epsilon_2\eta(Z+\ell_2)} \frac{(\bar{\epsilon}_3 - \bar{\epsilon}_2 \coth \zeta_2)}{(\bar{\epsilon}_3 + \bar{\epsilon}_2 \coth \zeta_2)} \quad (19)$$

وفي جملة (معدن - عازل - معدن) (MDM) والحصول على عبارة كمون الطاقة الذاتية  $U_{SA}(Z)$  في الطبقة  $k=2$  من هذه الجملة يمكن وذلك بالانتقال في العلاقات (16)، (17b)، (17a) يجعل  $\epsilon_1, \epsilon_3 \rightarrow \infty$ .

فنجصل على العلاقة التالية:

$$U_{SA}(Z) = \frac{e^2}{4\pi\epsilon_0\bar{\epsilon}_2} \int_0^\infty d\eta \frac{1 - e^{\zeta_2} \cosh(2\epsilon_2\eta Z)}{e^{2\zeta_2} - 1} \quad (20)$$

وفي الحالة الخاصة عندما  $L \rightarrow \infty$  نحصل من المعادلات (16) على العلاقات المعروفة في الإلكترونوديناميك والمعبرة عن طاقة التأثير المتبادل بين الشحنة الكهربائية وخيالها عند الحد الفاصل بين وسطين نصفي لا نهائين.

$$U_{SA}(Z) \Big|_{\substack{\epsilon_1 \rightarrow \infty \\ Z \rightarrow Z + \ell/2}} = U_{ie}(Z) = \frac{e^2(\bar{\epsilon}_2 - \bar{\epsilon}_1)}{16\pi\epsilon_0 Z(\bar{\epsilon}_2 + \bar{\epsilon}_1)} \quad (21)$$

ولنوجد عبارة الطاقة الكمومية الذاتية  $U_{SA}(Z)$  عندما تكون  $Z$  صغير (تكون سعة الإهتزاز صغيرة في حقل الكمون الذاتي وبالتالي تكون الشحنة متوضعة بشكل قوي في هذا الحقل) بنشر العلاقة (16) في سلسلة وفق  $\epsilon_2 \eta Z$  والإكتفاء بالنشر حتى المرتبة الثانية نحصل على العلاقة التالية:

$$U_{SA}(Z) \approx U_0 + K_1 Z + K_2 Z^2 \quad (22)$$

حيث أن:

$$U_0 = \frac{e^2}{8\pi\epsilon_0\bar{\epsilon}_2} \ln \left\{ \frac{\left[ 1 + \sqrt{\delta_1\delta_3} \right]^{\frac{f_1}{\delta_1\delta_3}-1}}{\left[ 1 - \sqrt{\delta_1\delta_3} \right]^{\frac{f_1}{\delta_1\delta_3}+1}} \right\} \quad (23a)$$

$$K_1 = \frac{e^2 f_2 J_1}{8\pi\epsilon_0\bar{\epsilon}_2 \ell^2}, \quad (23b)$$

$$K_2 = \frac{e^2 f_1 J_2}{2\pi\epsilon_0 \bar{\epsilon}_2 \ell^3}, \quad (23c)$$

$$J_1 = \int_0^\infty dX \frac{X e^x}{e^{2x} - \delta_1 \delta_3}; J_2 = \int_0^\infty dX \frac{X^2 e^x}{e^{2x} - \delta_1 \delta_3}$$

يمكن كتابة العلاقة (22) على الشكل التالي:

$$U_{SA}(Z) \approx U_0 + K_2 Z_0^2 + K_2 (Z + Z_0)^2 \quad (24)$$

وحيث أن:

$$Z_0 = \frac{K_1}{2K_2} \quad (25)$$

ينتظر من العلاقة (23c) عندما تكون  $f_1 \neq 0$  و  $k_2 \neq 0$  فإن المعادلة (22) تعبر عن معادلة قطع مكافئ نهائية تتعانى إزياجاً في مركز الطبقة (في جملة مؤلفة من ثلاثة طبقات الأولى والثالثة متباينتان أي  $\epsilon_3 = \epsilon_1 \neq \epsilon_2$  عند ذلك تكون النهاية الصغرى للقطع المكافئ في مركز الطبقة ( $k=2$ )).

وعندما يكون  $f_1 = 0$  و  $k_2 \neq 0$  تعبر المعادلة (22) أيضاً عن معادلة قطع مكافئ تتعانى إزياجاً في الأسفل ونهايته العظمى تتعانى إزياجاً في مركز الطبقة.

وفي جملة طبقات (معدن - عازل - نصف ناقل) (MDS)  $\epsilon_1 > \epsilon_2 > \epsilon_3$  وإذا كان  $\eta(Z - L_2/2) \ll 1$  فإن الحد من المرتبة الثانية في العلاقة (22) يصبح صغيراً مقارنة مع الحد الثاني ويعبر عن  $U_{SA}(Z)$  في هذه الحالة بالشكل الآتي:

$$U_{SA}(Z) \approx U'_0 + e E_{eff} Z \quad (26a)$$

حيث أن:

$$E_{eff} = \frac{e J'_1}{2\pi\epsilon_0 \ell (\bar{\epsilon}_2 + \bar{\epsilon}_3)}; J'_1 = \int_0^\infty dX \frac{X e^x}{e^{2x} + \delta_1} \quad (26b)$$

$$U'_0 = -\frac{e^2}{8\pi\epsilon_0 \bar{\epsilon}_2 \ell_2} \left\{ \ln(1 + \delta_3) + \frac{\bar{\epsilon}_2 \left( \pi - 2 \operatorname{arctg} \frac{1}{\sqrt{\delta_3}} \right)}{\sqrt{\delta_3} (\bar{\epsilon}_2 + \bar{\epsilon}_3)} \right\} \quad (26c)$$

تعبر العلاقة (26a) عن الكون الفعال من الاستقطاب ويمكن اعتباره بتقرير مقبول مثلثي الشكل.

يمكننا أن نستنتج من كل ما تقدم النتائجتين الهايتين التاليتين:

1- لا تتعلق عبارة كمون الطاقة الذاتية ( $Z$ )  $U_{SA}$  بإشارة الشحنة الكهربائية فهي واحدة سواء للإلكترون أو للثقب. وإن تغير عرض القطاع المحظور ( $E_g$ ) في طبقة نصف ناقل منضدة على طبقة ما. يتعلق بالعزلية الكهربائية لهاتين الطبقيتين، ففي الحالة التي تكون فيها العزلية الكهربائية لطبقة نصف الناقل أقل من العزلية الكهربائية للطبقة الحاملة ( $\epsilon_{substr}$ ) فإن عرض القطاع المحظور في طبقة نصف الناقل يضيق. وفي الحالة المعكosa ( $\epsilon_{substr}$ ) فإن  $E_g$  يزداد. وتبين أنه في جميع الحالات ( $Z$ )  $U_{SA}$  يتعلق بسماكة  $L_2$  وببارامتر اللاتاحي (انزوتوريبي العزلية الكهربائية)  $\epsilon_2$  بشكل فعال.

2- يتبع التابع ( $Z$ )  $U_{SA}$  إلى اللاتحية عند حدود الطبقة. يمكن التخلص من هذا التباعد بحل المسألة كوانتماً، حيث تعتبر حاملة الشحنة شبه جسيمة (وليس كنقطة مادية) نصف قطرها

$$Z \sim Z_0 \left( Z_0 = \left( \frac{\hbar}{2m^* \omega_{pl}} \right)^{\frac{1}{2}} \right)$$

حيث  $\omega_{pl}$  - تردد بلازما الإلكترونات التكاففية. وتعطى عادة هذه البارامترات في نصف ناكل عادي بالقيم التالية:

$$m^* = 0.1m_0, \omega_{pl} \sim 10^{15} \div 10^{16} C^{-1}, Z \sim a \quad (a) \text{ ثابت الشبكة}$$

حالة حاملة الشحنة الكهربائية في حقل الكمون الذاتي:

تدل الصيغة العامة لعبارة ( $Z$ )  $U_{SA}(Z)$  (16) على أنها تتعلق بشكل أساسى بالعزلية الكهربائية للطبقات، وبالأنزوتوريبي - وبسماكة الطبقة. تأخذ معادلة شرودينير لحاملة الشحنة الكهربائية في الطبقة  $k=2$  في حقل الكمون الذاتي الصيغة التالية:

$$\left\{ \frac{P_\perp^2}{2m_\perp^*} + \frac{P_\parallel^2}{2m_\parallel^*} + U_{SA}(Z) + U(Z) \right\} \Psi(\rho, Z) = E\Psi(\rho, Z) \quad (27)$$

$U(Z)$  : الحاجز الكموني عند حدود الطبقة. وبما أن كمون الطاقة الذاتية ( $Z$ )  $U_{SA}(Z)$  لا يتعلق بم (نصف القطر الشعاعي في المستوى  $xy$ ) فإن حركة حاملة الشحنة في المستوى  $xy$  تعتبر حرفة حرية. وبالتالي يمكننا أن نعبر عن التابع الموجي ( $\rho, z$ )  $\Psi$  كجاء تابعين:

$$\Psi(\rho, Z) = C_1 e^{i k_\perp \rho} \varphi(Z) \quad (28)$$

( $Z$ )  $\varphi$  يصف حركة الشحنة الكهربائية في حقل الكمون التالي:

$$U_t(Z) = U_{SA}(Z) + U(Z) \quad (29)$$

ويتحقق المعادلة التالية:

$$\left\{ \frac{P_{\parallel}^2}{2m_{\parallel}} + U_1(Z) \right\} \varphi(Z) = E_t \varphi(Z) \quad (30)$$

وباستخدام تجريب الحاجز الكموني عند حدود الطبقة حيث أن:

$$U(Z) = \begin{cases} 0, |Z| \leq \ell/2 \\ \infty, Z < -\ell/2 \text{ or } Z > \ell/2 \end{cases} \quad (31)$$

وفي حفرة كمونية ضيقة ( $\ell$  صغيرة) يمكن النظر إلى  $U_{SA}(Z)$  كحد تصحيح (اضطراب) ويكون لدينا:

$$E_t = E_{SQ} + E_{SA} \quad (32)$$

حيث أن:

$$E_{SQ} = \frac{\pi^2 \hbar^2}{2m_{\parallel}^* \ell^2} n_1^2, n_1 = 1, 2, 3, \dots \quad (33)$$

- مساهمة الطاقة الذاتية والناجمة عنأخذ القيمة الوسطى لـ (9,a,b,c) على التابع الموجي التالي:

$$\varphi_{n_1}(Z) = \left( \frac{2}{\lambda} \right)^{\frac{1}{2}} \cos \left( \frac{\pi n_1}{\ell} Z \right) \quad (34)$$

$$E_{SA,n_1}(\ell) = \frac{e^2}{4\pi\epsilon_0\epsilon_2\ell^2} \int_0^\infty dx (e^{2x} - \delta_1\delta_3)^{-1} \left\{ \delta_1\delta_3 + \frac{\pi^2 n_1^2 f_1 e^x \sinh x}{x(x^2 + \pi^2 n_1^2)} \right\} \quad (35)$$

وفي الحالة التي يتحقق فيها الشرط  $E_{SQ} < E_{SA}$  و  $f_1 > 0$  فإن لعبارة كمون الطاقة الذاتي شكل قطع مكافئ العلاقة (22) ويعطي حل معادلة شروط ديفر في هذه الحالة بالشكل التالي:

$$E_{SA,n_1}(\ell) = U_0 + \hbar\omega \left( n_2 + \frac{1}{2} \right); n_2 = 0, 1, 2, \dots \quad (36)$$

$$\varphi_{n_2}(y) = A_n e^{-y^{1/2}} H_{n_2}(y) \quad (37a)$$

وحيث أن:

$$y = \left( \frac{m_{\parallel}^* \omega_i}{\hbar} \right)^{\frac{1}{4}} Z; \omega_i = \left\{ \frac{e^2 f_1 J'_2}{\pi \epsilon_0 \epsilon_2 \ell^2 m_{\parallel}^*} \right\}^{\frac{1}{2}}; J'_2 = \int_0^\infty \frac{x^2 e^x dx}{e^{2x} - \delta^2} \quad (37b)$$

- كثير حدود هرميتي:  $H_{n_2(y)}$

في الحالة التي تكون فيها إحدى طبقات الجملة معدن أو طبقة ذات عازلية كهربائية كبيرة  $f_r$  يكون لعبارة  $(Z)_{SA} U$  شكل قريب من الشكل المثلثي المعادلة (26a) وبالتالي في حال تحقق الشرط  $E_{s_2} < E_{s_4}$  يكون لمعادلة شرووديفر (30) الحال التالي:

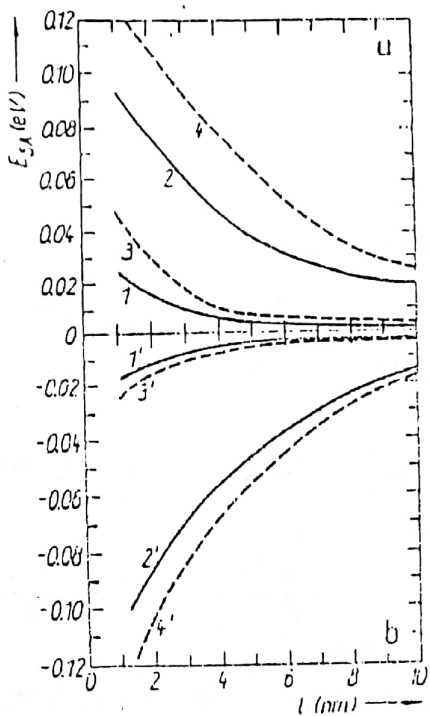
$$E_{SA,n_3}(\ell) = U'_0 + \left( \frac{\hbar^2}{2m_{\parallel}} \right)^{\frac{1}{3}} \left\{ \frac{3}{2} \pi e E_{eff} \left( n_3 + \frac{3}{4} \right) \right\}^{\frac{2}{3}} ; n_3 = 0, 1, 2, \dots \quad (38)$$

$$\varphi_{n_3}(y) = \frac{(2m_{\parallel}^*)^{\frac{1}{3}}}{\pi^{\frac{1}{2}} (eE_{eff})^{\frac{1}{6}} \hbar^{\frac{2}{3}}} \left\{ \left( \frac{2m_{\parallel}^* e E_{eff}}{\hbar^2} \right)^{\frac{1}{3}} \left( Z - \frac{E_{n_3}}{e E_{eff}} \right) \right\} \quad (39)$$

ومن المفيد تعين مجال البارامترات التي من أجلها يتوافق الحل التحليلي لطيف الطاقة المعطى بالعلاقات (26) و (38) مع الحلول الحسابية الناتجة عن حل معادلة شرووديفر (27) من أجل الكمون (16) وذلك بمقارنة النتائجتين وتعين مجال التطابق.

ويعبر الشكل (4.a) عن النتائج الحسابية لطاقة ارتباط حاملة الشحنة في حقل الكمون الذاتي في طبقة CTde والمتوسطة على طبقة MgF<sub>2</sub> وفي الشكل (4.b) متوضعة على طبقة معدن.

تبين هذه النتائج أن العلاقات النهائية (36) و (38) من أجل  $\epsilon_1 = 1$  تعطي نتائج من 10-15% أقل من النتائج التي نحصل عليها حسابياً باستخدام العلاقة (35). وبمقارنة النتائج التحليلية مع الحسابية من أجل مواد أخرى تبين بأن العلاقات (36) و (38) تعطيان نتائج بدقة تصل حتى 10% في مجال سماكة للطبقة تتراوح بين 3-10nm.



الشكل (4)

الشكل (4) طاقة حاملة الشحنة في حقل الكمون الذاتي في طبقة CdTe متوضعة (a) على طبقة (b)  $MgF_2$  على طبقة معدن. وحيث  $\epsilon_2 = 1$  من أجل المنحنيات (1) و (1') و (3) و (3') و  $\epsilon_2 = 0.3$  من أجل المنحنيات (2)، (2')، (4)، (4') وقد رسمت المنحنيات (1)، (2)، (1)، (2) باستخدام العلاقة (39) رسمت المنحنيات (3)، (3') باستخدام العلاقة (35) والمنحنيات (3)، (4) باستخدام العلاقة (38).

## REFERENCES

## المراجع

- [1] S. I. Beril, E. P. Pokatilov, V. M. Fomin, and G. I. Pogoriiko, In: Opticheskie cvoistva Poluprovodnikov, Izd. Stintsia, Kishinev 1986 (p. 96).
- [2] E. P. Pokatilov, S. I. Beril, and V. M. Fomin, Fiz. Tverd. Tela 27, 1892 (1985).
- [3] E. P. Pokatilov, S. I. Beril, V. M. Fomin, and G. A. Pogoraiko, phys. stat. sol. (b) 130, 916, (1985).
- [4] E. P. Pokatilov, S. I. Beril, and V. M. Fomin, phys. stat. sol. (b) 147, 163 (1988).
- [5] E. P. Pokatilov, S. I. Beril, and V. M. Fomin, V. G. Litovchenko, D. V. Korbutyak, E. A. Lashkevich, and E. V. Michailovskaya, phys. stat. sol. (b) 145, 535 (1988).
- [6] E. P. Pokatilov, S. A. Beril, and V. M. Fomin, Poverkhonost 5, 5 (1988).
- [7] E. P. Pokatilov, and V. M. Fomin, Teoriya Potentsiala v mnogosloinyyh Systemah.  
Part 1, Dep. Ruk. N 366 M-D 84, MoldNIINTI, Kishinev 1983; Part 2, Dep. Ruk.  
N 388M-D 84 MoldNIINTI Kishinev 1984.
- [8] E. P. Pokatilov, and V. M. Fomin and S. I. Beril, Vibrational Excitations, Polarons and Excitons in Multilayer structures Kishinev 1992.